

Fondamenti di Automatica

Giorgio Battistelli

Dipartimento di Ingegneria dell'Informazione, Università di Firenze



UNIVERSITÀ
DEGLI STUDI
FIRENZE

DINFO
DIPARTIMENTO DI
INGEGNERIA
DELL'INFORMAZIONE

3 Sistemi di controllo

3.6 Osservabilità, controllabilità e autovalori nascosti

Evoluzione libera e forzata

- Consideriamo un sistema LTI TC

$$\begin{aligned}\dot{x} &= Ax + Bu \\ y &= Cx\end{aligned}$$

- Soluzione del sistema nel dominio di Laplace

$$\begin{aligned}X(s) &= \underbrace{(sI - A)^{-1}x(0)}_{X_\ell(s)} + \underbrace{(sI - A)^{-1}BU(s)}_{X_f(s)} \\ Y(s) &= \underbrace{C(sI - A)^{-1}x(0)}_{Y_\ell(s)} + \underbrace{C(sI - A)^{-1}BU(s)}_{Y_f(s)}\end{aligned}$$

- $X_\ell(s)$ **evoluzione libera dello stato** dipende dalla matrice $(sI - A)^{-1}$
- $(sI - A)^{-1}$ ha come poli tutti e soli gli autovalori del sistema, radici del polinomio caratteristico

$$\varphi(s) = \det(sI - A)$$

Evoluzione forzata dello stato e autovalori controllabili

- **Evoluzione forzata dello stato**

$$X_f(s) = (sI - A)^{-1} B U(s)$$

dipende dalla matrice $(sI - A)^{-1} B$

- **Poli di $(sI - A)^{-1} B$ = autovalori controllabili del sistema**, radici di $\varphi_c(s)$ polinomio caratteristico di controllo
- Autovalori non controllabili si cancellano nella moltiplicazione per B e non compaiono come poli in $X_f(s)$
- Per sistemi singolo ingresso $\dim(u) = 1$
 - $\varphi_c(s)$ = minimo comune multiplo dei denominatori degli elementi di $(sI - A)^{-1} B$
 - $\varphi_{nc}(s) = \frac{\varphi(s)}{\varphi_c(s)}$

Risposta libera e autovalori osservabili

- $Y_\ell(s)$ **Risposta libera**

$$Y_\ell(s) = C(sI - A)^{-1} x(0)$$

dipende dalla matrice $C(sI - A)^{-1}$

- **Poli di $C(sI - A)^{-1}$ = autovalori osservabili del sistema**

Definizione: un autovalore λ_i della matrice A si dice

- **osservabile** se compare come polo di $C(sI - A)^{-1}$ e quindi si vede nella risposta libera $Y_\ell(s)$
- **non osservabile** se non compare come polo di $C(sI - A)^{-1}$ (in quanto si cancella nel prodotto per C) e quindi non si vede nella risposta libera $Y_\ell(s)$

Polinomio caratteristico di osservazione

- Possiamo fattorizzare il polinomio caratteristico come

$$\varphi(s) = \varphi_o(s) \varphi_{no}(s)$$

- $\varphi_o(s)$ **polinomio caratteristico di osservazione** ha come radici tutti e soli gli autovalori osservabili
- $\varphi_{no}(s) = \frac{\varphi(s)}{\varphi_o(s)}$ ha come radici tutti e soli gli autovalori non controllabili
- Per sistemi singola uscita $\dim(y) = 1$, $\varphi_o(s)$ si calcola come minimo comune multiplo dei denominatori degli elementi di $C(sI - A)^{-1}$
- Per sistemi con più uscite $\dim(y) > 1$ invece degli elementi di $C(sI - A)^{-1}$ dobbiamo considerare i determinanti delle sottomatrici quadrate

Funzione di trasferimento e poli del sistema

- **Risposta forzata**

$$Y_f(s) = C(sI - A)^{-1} B U(s)$$

dipende dalla funzione di trasferimento $G(s) = C(sI - A)^{-1} B$

- **Poli di $G(s)$ = poli del sistema**
 - = autovalori del sistema che non si cancellano né nella moltiplicazione per C né in quella per B

Fatto 3.7

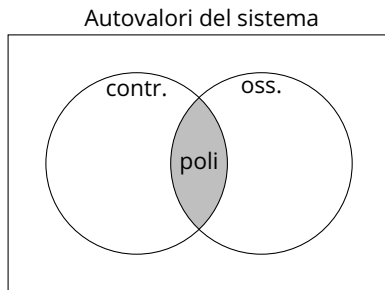
$$\{\text{Poli del sistema}\} = \{\text{Autovalori controllabili}\} \cap \{\text{Autovalori osservabili}\}$$

- Per sistemi SISO $\dim(u) = \dim(y) = 1$

$$G(s) = \frac{b(s)}{a(s)}$$

\Rightarrow Poli del sistema = radici di $a(s)$

Autovalori nascosti



- Autovalori non controllabili e/o non osservabili non compaiono come poli della $G(s)$, quindi non si vedono in $Y_f(s)$, e sono detti **autovalori nascosti**

- Vale la relazione

$$\left\{ \begin{array}{c} \text{Autovalori} \\ \text{nascosti} \end{array} \right\} = \left\{ \begin{array}{c} \text{Autovalori} \\ \text{non controllabili} \end{array} \right\} \cup \left\{ \begin{array}{c} \text{Autovalori} \\ \text{non osservabili} \end{array} \right\}$$

- Per sistemi SISO $\dim(u) = \dim(y) = 1$, autovalori nascosti radici del polinomio

$$\varphi_h(s) = \frac{\varphi(s)}{a(s)}$$

dove il pedice h sta per *hidden* (nascosto)

Esempio di studio della controllabilità/osservabilità

- Consideriamo il sistema LTI TC con

$$A = \begin{bmatrix} 1 & 0 \\ 1 & -1 \end{bmatrix} \quad B = \begin{bmatrix} 1 \\ 1 \end{bmatrix} \quad C = [1 \quad 0]$$

- Polinomio caratteristico

$$\varphi(s) = \det(sI - A) = \det \begin{bmatrix} s-1 & 0 \\ -1 & s+1 \end{bmatrix} = (s-1)(s+1)$$

- Autvalori $\lambda_1 = 1$ e $\lambda_2 = -1$

- Matrice inversa

$$\begin{aligned} (sI - A)^{-1} &= \frac{1}{\varphi(s)} \text{Adj}(sI - A) \\ &= \frac{1}{(s+1)(s-1)} \text{Adj} \begin{bmatrix} s-1 & 0 \\ -1 & s+1 \end{bmatrix} \\ &= \frac{1}{(s+1)(s-1)} \begin{bmatrix} s+1 & 0 \\ 1 & s-1 \end{bmatrix} = \begin{bmatrix} \frac{1}{s-1} & 0 \\ \frac{1}{(s-1)(s+1)} & \frac{1}{s+1} \end{bmatrix} \end{aligned}$$

Esempio di studio della controllabilità/osservabilità

- Per studiare la controllabilità

$$\begin{aligned}(sI - A)^{-1}B &= \begin{bmatrix} \frac{1}{s-1} & 0 \\ \frac{1}{(s-1)(s+1)} & \frac{1}{s+1} \end{bmatrix} \begin{bmatrix} 1 \\ 1 \end{bmatrix} \\ &= \begin{bmatrix} \frac{1}{s-1} \\ \frac{1}{(s-1)(s+1)} + \frac{1}{s+1} \end{bmatrix} = \begin{bmatrix} \frac{1}{s-1} \\ \frac{s}{(s-1)(s+1)} \end{bmatrix}\end{aligned}$$

- Polinomio caratteristico di controllo

$$\varphi_c(s) = (s-1)(s+1)$$

- $\Rightarrow \lambda_1 = 1$ e $\lambda_2 = -1$ autovalori controllabili
- \Rightarrow sistema completamente controllabile

Esempio di studio della controllabilità/osservabilità

- Per studiare l'osservabilità

$$C(sI - A)^{-1} = [1 \quad 0] \begin{bmatrix} \frac{1}{s-1} & 0 \\ \frac{1}{(s-1)(s+1)} & \frac{1}{s+1} \end{bmatrix} = \begin{bmatrix} \frac{1}{s-1} & 0 \end{bmatrix}$$

- Polinomio caratteristico di osservazione

$$\varphi_o(s) = s - 1$$

- ⇒ $\lambda_1 = 1$ autovalore osservabile e $\lambda_2 = -1$ autovalore non osservabile
- ⇒ sistema non completamente osservabile

- Funzione di trasferimento

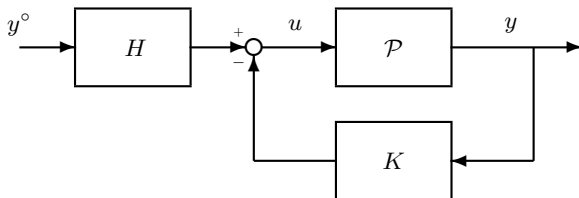
$$G(s) = C(sI - A)^{-1} B = [1 \quad 0] \begin{bmatrix} \frac{1}{s-1} & 0 \\ \frac{1}{(s-1)(s+1)} & \frac{1}{s+1} \end{bmatrix} \begin{bmatrix} 1 \\ 1 \end{bmatrix} = \frac{1}{s-1}$$

$$\Rightarrow a(s) = s - 1 \quad \varphi_h(s) = s + 1$$

Nota: ho un solo polo in $p_1 = 1$ coincidente con l'unico autovalore controllabile e osservabile. L'altro autovalore $\lambda_2 = -1$, seppur controllabile, è nascosto perché non osservabile.

3.7 Retroazione algebrica sull'uscita

Retroazione algebrica sull'uscita



Legge di controllo in retroazione algebrica sull'uscita

$$\mathcal{C} : \quad u(t) = -K y(t) + H y^\circ(t)$$

- **Controllo in feedback:** $-K y(t)$
con F **guadagno in feedback** (retroazione)
- **Controllo in feedforward:** $H y^\circ(t)$
con H **guadagno in feedforward**
- **Informazione parziale:** non abbiamo accesso allo stato x ma solo all'uscita y

Guadagno in feedback e in feedforward

- Retroazione algebrica sull'uscita

$$u(t) = -K y(t) + H y^\circ(t)$$

- Guadagni K e H sono **parametri di progetto** da scegliere per soddisfare le specifiche di controllo
- In generale K e H matrici di dimensione $\dim(u) \times \dim(y)$
- **Per sistemi SISO** $\dim(u) = \dim(y) = 1$, K e H sono parametri scalari
- Poiché $y = Cx$, retroazione algebrica sull'uscita corrisponde a una particolare retroazione algebrica sullo stato con $F = K C$

$$\begin{aligned} u(t) &= -K y(t) + H y^\circ(t) \\ &= -K C x(t) + H y^\circ(t) \end{aligned}$$

Nota: nel guadagno in retroazione algebrica sull'uscita abbiamo a disposizione meno parametri di progetto rispetto alla retroazione algebrica sullo stato (nel caso SISO possiamo scegliere solo lo scalare K invece del vettore riga F)

Sistema in ciclo chiuso

- Processo

$$\mathcal{P} : \begin{cases} \dot{x}(t) = Ax(t) + Bu(t) \\ y(t) = Cx(t) \end{cases}$$

- Controllore

$$\mathcal{C} : u(t) = -K y(t) + H y^{\circ}(t)$$

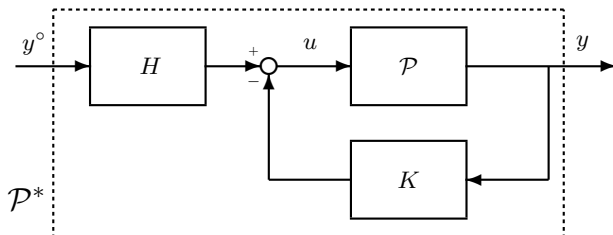
- Sostituendo la legge di controllo nell'equazione del processo

$$\begin{aligned} \dot{x}(t) &= Ax(t) + Bu(t) \\ &= Ax(t) + B[-Ky(t) + Hy^{\circ}(t)] = (A - BKC)x(t) + BH y^{\circ}(t) \end{aligned}$$

- **Sistema in ciclo chiuso**

$$\mathcal{P}^* : \begin{cases} \dot{x}(t) = (A - BKC)x(t) + BH y^{\circ}(t) \\ y(t) = Cx(t) \end{cases}$$

Sistema in ciclo chiuso



Sistema in ciclo chiuso

$$\mathcal{P}^* : \begin{cases} \dot{x}(t) = A^*x(t) + B^*y^o(t) \\ y(t) = Cx(t) \end{cases}$$

con $A^* = A - BKC$ e $B^* = BH$

- Sistema in ciclo chiuso: sistema LTI TC con ingresso y^o e uscita y
- Matrice della **dinamica in ciclo chiuso** $A^* = A - BKC$ dipende dal guadagno in feedback K

Sistema in ciclo chiuso

- Sistema in ciclo chiuso

$$\mathcal{P}^* : \begin{cases} \dot{x}(t) = A^*x(t) + B^*y^\circ(t) \\ y(t) = Cx(t) \end{cases}$$

con $A^* = A - BKC$ e $B^* = BH$

- **Polinomio caratteristico in ciclo chiuso**

$$\varphi^*(s) = \det(sI - A^*) = \det(sI - A + BKC)$$

- **Funzione di trasferimento in ciclo chiuso**

$$G_{y^\circ y}^*(s) = C(sI - A^*)^{-1}B^* = C(sI - A + BKC)^{-1}BH$$

Nota: al variare del guadagno K possiamo **spostare gli autovalori** nel piano s
 \Rightarrow possiamo utilizzare K per modificare il comportamento dinamico e
in particolare le proprietà di stabilità del sistema

Funzione di trasferimento in ciclo chiuso

- Equazione del processo nel dominio di Laplace (supponendo $x(0) = 0$)

$$\mathcal{P} : Y(s) = Y_f(s) = G(s) U(s)$$

- Equazione del controllore nel dominio di Laplace

$$\mathcal{C} : U(s) = -K Y(s) + H Y^\circ(s)$$

- Di conseguenza, per sistemi SISO

$$Y(s) = -K G(s) Y(s) + G(s) H Y^\circ(s) \quad \Rightarrow \quad Y(s) = \frac{G(s)}{1 + K G(s)} H Y^\circ(s)$$

Funzione di trasferimento in ciclo chiuso

$$G_{y^\circ y}^*(s) = \frac{G(s)}{1 + K G(s)} H$$

Polinomio caratteristico in ciclo chiuso

- La funzione di trasferimento in ciclo chiuso può anche essere scritta come

$$G_{y \circ y}^*(s) = \frac{G(s)}{1 + K G(s)} H = \frac{b(s)/a(s)}{1 + K b(s)/a(s)} H = \frac{b(s)}{a(s) + K b(s)} H$$

- Si ricorda che vale la fattorizzazione $\varphi(s) = \varphi_h(s) a(s)$ con
 - radici di $a(s)$ = poli del sistema (autovalori controllabili e osservabili)
 - radici di $\varphi_h(s)$ = autovalori nascosti (autovalori non controllabili e/o non osservabili)
- Retroazione algebrica sull'uscita
 - modifica i poli del sistema assegnandoli come radici del polinomio

$$a^*(s) = a(s) + K b(s)$$

- non** modifica gli autovalori nascosti del sistema, radici di $\varphi_h(s)$

Polinomio caratteristico in ciclo chiuso

$$\varphi^*(s) = \varphi_h(s) a^*(s) = \varphi_h(s) [a(s) + K b(s)]$$

Proprietà del sistema in ciclo chiuso

Fatto 3.8 Per sistemi LTI SISO, la legge di controllo in retroazione algebrica sull'uscita $u = -Ky + Hy^\circ$

- assegna il polinomio caratteristico in ciclo chiuso

$$\varphi^*(s) = \varphi_h(s) a^*(s) = \varphi_h(s) [a(s) + K b(s)]$$

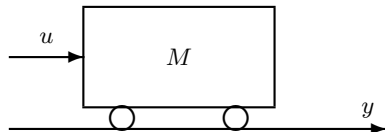
- assegna la funzione di trasferimento in ciclo chiuso

$$G_{y^\circ y}^*(s) = \frac{G(s)}{1 + K G(s)} H = \frac{b(s)}{a(s) + K b(s)} H$$

- La retroazione algebrica sull'uscita modifica i poli ma **non** modifica gli zeri di $G_{y^\circ y}^*(s)$
- Poiché abbiamo solo il parametro scalare K a disposizione, i poli in ciclo chiuso non possono essere scelti liberamente, ma ci sono dei vincoli!

Esempio: controllo di posizione

- Carrello di massa M soggetto ad una forza esterna $u(t)$
- $y(t)$ posizione del carrello al tempo t
- b coefficiente di attrito viscoso



Obiettivo: portare il carrello in una posizione desiderata Y_0 tramite il controllo u misurando solo la posizione y

- Problema di controllo con riferimento costante

$$y^\circ(t) = Y_0 \cdot 1(t)$$

- Retroazione algebrica sull'uscita

$$u = -K y + H y^\circ$$

Esempio: controllo di posizione

- Equazioni di stato per $M = 1$ e $b = 1$

$$\begin{aligned}\dot{x}(t) &= \underbrace{\begin{bmatrix} 0 & 1 \\ 0 & -1 \end{bmatrix}}_A x(t) + \underbrace{\begin{bmatrix} 0 \\ 1 \end{bmatrix}}_B u(t) \\ y(t) &= \underbrace{\begin{bmatrix} 1 & 0 \end{bmatrix}}_C x(t)\end{aligned}$$

- Polinomio caratteristico

$$\varphi(s) = \det(sI - A) = \det \begin{bmatrix} s & -1 \\ 0 & s+1 \end{bmatrix} = s(s+1)$$

- Funzione di trasferimento

$$G(s) = C(sI - A)^{-1}B = \frac{1}{s(s+1)}$$

- Entrambi gli autovalori sono poli di $G(s)$

\Rightarrow non ci sono autovalori nascosti (sistema completamente controllabile e osservabile)

$$a(s) = s(s+1) \quad b(s) = 1 \quad \varphi_h(s) = 1$$

Esempio: controllo di posizione

- Applichiamo la retroazione sull'uscita $u = -Ky + Hy^\circ$
- Funzione di trasferimento in ciclo chiuso

$$G_{y^\circ y}^*(s) = \frac{b(s)}{a(s) + Kb(s)} H = \frac{1}{s^2 + s + K} H$$

- Polinomio caratteristico in ciclo chiuso

$$\varphi^*(s) = \varphi_h(s) [a(s) + Kb(s)] = s^2 + s + K$$

- Per Cartesio, stabilità asintotica in ciclo chiuso (specifica 1) quando tutti i coefficienti di $\varphi^*(s)$ hanno stesso segno
 \Rightarrow possiamo stabilizzare scegliendo $K > 0$
- Poli in ciclo chiuso

$$p_{1,2}^* = -\frac{1}{2} \pm \frac{\sqrt{1 - 4K}}{2}$$

Nota: al variare di K i poli in ciclo chiuso non possono essere assegnati liberamente ma seguono un percorso prestabilito sul piano complesso detto **luogo delle radici**

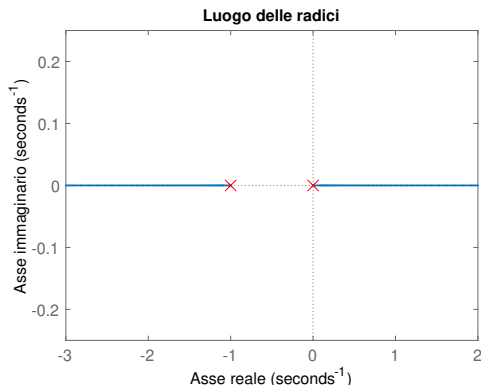
Esempio: controllo di posizione

- Poli in ciclo chiuso

$$p_{1,2}^* = -\frac{1}{2} \pm \frac{\sqrt{1-4K}}{2}$$

- Per $K < 0 \Rightarrow$ 2 poli reali

$$p_1 = -\frac{1}{2} - \frac{\sqrt{1-4K}}{2} \quad p_2 = -\frac{1}{2} + \frac{\sqrt{1-4K}}{2}$$



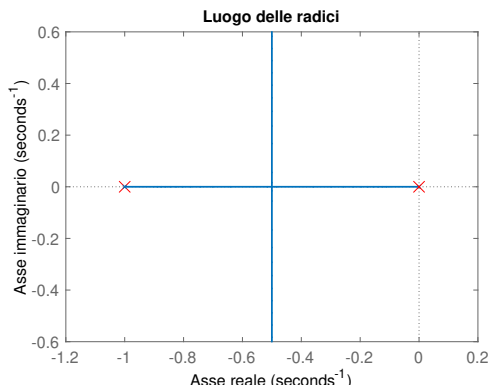
- Luogo delle radici per $K < 0$
- Per $K = 0$ si parte dai poli in anello aperto $p_1 = -1$ e $p_2 = 0$
- p_1 tende a $-\infty$ per $K \rightarrow -\infty$
- p_2 tende a $+\infty$ per $K \rightarrow -\infty$

Esempio: controllo di posizione

- Poli in ciclo chiuso

$$p_{1,2}^* = -\frac{1}{2} \pm \frac{\sqrt{1-4K}}{2}$$

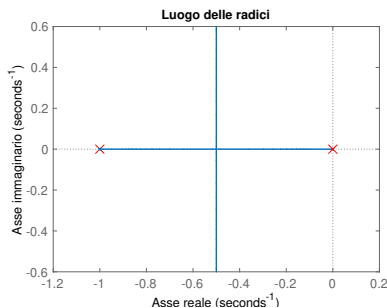
- Per $0 < K \leq \frac{1}{4} \Rightarrow$ 2 poli reali
- Per $K > \frac{1}{4} \Rightarrow$ 2 poli complessi coniugati



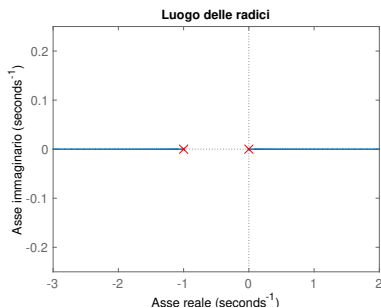
- Luogo delle radici per $K > 0$
- Per $K = 0$ si parte dai poli in anello aperto $p_1 = -1$ e $p_2 = 0$
- Per $K = \frac{1}{4}$ abbiamo 2 poli coincidenti in $-\frac{1}{2}$
- Per $K \rightarrow +\infty$ abbiamo 2 poli complessi coniugati con parte reale $-\frac{1}{2}$ e parte immaginaria tendente a $\pm\infty$

Luogo delle radici

- I poli in ciclo chiuso sono le radici di $a^*(s) = a(s) + K b(s)$
- **Luogo delle radici** descrive come si spostano nel piano complessi i poli in ciclo chiuso al variare del guadagno in feedback K
- Di solito due grafici: uno per $K > 0$ e l'altro per $K < 0$
- Per tracciare il luogo delle radici: MATLAB `rlocus`, Python `control.root_locus`
- Nell'esempio del controllo di posizione



Luogo delle radici per $K > 0$



Luogo delle radici per $K < 0$

Buona posizione del problema di controllo

- Polinomio caratteristico in anello aperto

$$\varphi(s) = \varphi_h(s) a(s)$$

- Polinomio caratteristico in ciclo chiuso

$$\varphi^*(s) = \varphi_h(s) [a(s) + K b(s)]$$

- Retroazione sull'uscita **non** modifica le radici di $\varphi_h(s)$, autovalori nascosti del sistema (non controllabili e/o non osservabili)

Definizione: un problema di controllo in retroazione sull'uscita si dice **ben posto** quando $\varphi_h(s)$ ha tutte radici con $\text{Re} < 0$

Nota: la buona posizione del problema di controllo è condizione necessaria per l'esistenza di un guadagno K stabilizzante ma in generale **non** sufficiente!

Controesempio

- Consideriamo un sistema LTI TC con

$$G(s) = \frac{1}{s^2 - 1}$$

e quindi $a(s) = s^2 - 1$ $b(s) = 1$

- Supponiamo che non ci siano autovalori nascosti, ossia $\varphi_h(s) = 1$
 \Rightarrow problema di controllo in retroazione sull'uscita **ben posto**
- Polinomio caratteristico in ciclo chiuso

$$\varphi^*(s) = \varphi_h(s) [a(s) + K b(s)] = s^2 - 1 + K$$

- \Rightarrow non è possibile scegliere K in modo da rendere tutti i coefficienti di segno concorde (coefficiente del termine s sempre pari a 0)
- \Rightarrow non esiste K stabilizzante

- Questo sistema **non** può essere stabilizzato mediante retroazione algebrica sull'uscita nonostante il problema di controllo sia ben posto

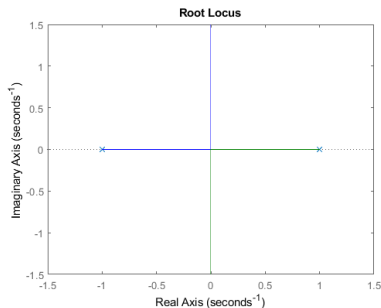
Nota: questo non vuol dire che il sistema non possa essere controllato, ma piuttosto che dobbiamo considerare strutture di controllo più generali!

Controesempio: luogo delle radici

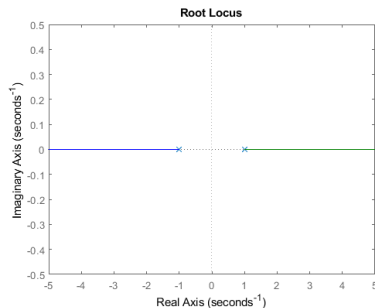
- Poli in ciclo chiuso

$$p_{1,2}^* = \pm\sqrt{1-K}$$

- Dal tracciamento del luogo delle radici si vede che per ogni K ho sempre almeno un polo con $\text{Re} \geq 0$



Luogo delle radici per $K > 0$



Luogo delle radici per $K < 0$

Progetto della retroazione algebrica sull'uscita

Specifiche di progetto

- **Specifica 1:** stabilità asintotica in ciclo chiuso
- **Specifica 2:** guadagno in continua in ciclo chiuso unitario $G_{y \circ y}^*(0) = 1$
- **Specifica 3:** garantire un transitorio rapido e con escursioni dell'uscita il più possibile limitate

- Guadagno in continua in ciclo chiuso

$$G_{y \circ y}^*(0) = \frac{b(0)}{a(0) + K b(0)} H$$

⇒ per soddisfare la specifica 2 dobbiamo porre

$$H = \frac{a(0) + K b(0)}{b(0)}$$

Progetto della retroazione algebrica sull'uscita

Progetto di un sistema di controllo in retroazione algebrica sull'uscita

- 1 Si calcola $\varphi_h(s) = \varphi(s)/a(s)$
If $\varphi_h(s)$ asintoticamente stabile (non ci sono autovalori nascosti instabili)
il problema di controllo è *ben posto* e si va al passo 2
else il problema di controllo *non* è ben posto
Il progetto non può essere concluso e l'algoritmo termina
- 2 **If** esiste K tale che $a^*(s) = a(s) + K b(s)$ asintoticamente stabile
si fissa K (per soddisfare specifica 1 e possibilmente 3)
si va al passo 3
else la retroazione statica sull'uscita non è sufficiente per stabilizzare
Il progetto non può essere concluso e l'algoritmo termina
- 3 **If** $b(0) \neq 0$
si pone $H = \frac{a(0)+Kb(0)}{b(0)}$ (per avere inseguimento perfetto di un riferimento y° costante)
else non è possibile inseguire un riferimento costante
si pone ad esempio $H = K$

Considerazioni finali

- Se l'algoritmo termina al passo 1 il problema di controllo **non** è ben posto perché ci sono autovalori nascosti con $\text{Re} \geq 0$
In questo caso dobbiamo **modificare** B e/o C per garantire che gli autovalori a $\text{Re} \geq 0$ non siano nascosti
- Autovalori nascosti = autovalori non controllabili e/o non osservabili
 - Autovalori non controllabili con $\text{Re} \geq 0$
 \Rightarrow dobbiamo modificare B (cambiare/aggiungere variabili di controllo)
 - Autovalori non osservabili con $\text{Re} \geq 0$
 \Rightarrow dobbiamo modificare C (cambiare/aggiungere sensori)
- Se l'algoritmo termina al passo 2 vuol dire che la retroazione statica sull'uscita non è sufficientemente potente per stabilizzare
 \Rightarrow dobbiamo considerare leggi di controllo più generali:
retroazione **dinamica** sull'uscita (controllore = sistema dinamico)
- Condizione $G_{y \circ y}^*(0) = 1$ (specificata 2) soddisfacibile $\Leftrightarrow b(0) \neq 0$
Se $b(0) = 0$ e vogliamo mantenere l'uscita a un valore costante, dobbiamo modificare B e/o C in modo da modificare $b(s)$

Esempio di progetto

- Consideriamo un sistema LTI TC con funzione di trasferimento

$$G(s) = \frac{s+1}{s(s-1)}$$

- Obiettivo: progettare un controllore in retroazione algebrica sull'uscita

$$u = -K y + H y^\circ$$

Nota: quando il processo \mathcal{P} viene dato in termini di funzione di trasferimento $G(s)$ si intende implicitamente che non ci siano autovalori nascosti $\varphi_h(s) = 1$ e quindi che $\varphi(s) = a(s)$

- Per il sistema considerato $a(s) = s(s-1)$ $b(s) = s+1$
 \Rightarrow polinomio caratteristico in ciclo chiuso

$$\varphi^*(s) = \varphi_h(s) [a(s) + K b(s)] = s(s-1) + K(s+1) = s^2 + (K-1)s + K$$

- Per Cartesio, stabilità quando $K > 1$ (tutti coefficienti di segno concorde)

Esempio di progetto

- Ad esempio prendiamo $K = 6$ e quindi

$$\varphi^*(s) = s^2 + (K - 1)s + K = s^2 + 5s + 6 = (s + 2)(s + 3)$$

\Rightarrow autovalori in ciclo chiuso $\lambda_1^* = -2$ e $\lambda_2^* = -3$

- Guadagno in feedforward

$$H = \frac{a(0) + K b(0)}{b(0)} = K = 6$$

- Legge di controllo

$$u = -K y + H y^\circ = -6 y + 6 y^\circ = 6(y^\circ - y)$$

- Funzione di trasferimento in ciclo chiuso

$$G_{y^\circ y}^*(s) = \frac{b(s)}{a(s) + K b(s)} H = \frac{s + 1}{s^2 + (K - 1)s + K} H = \frac{6(s + 1)}{s^2 + 5s + 6}$$

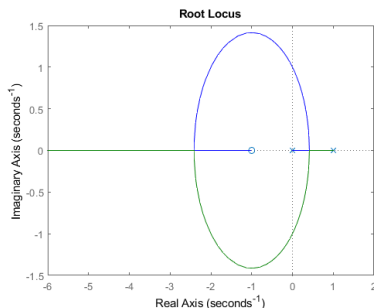
Nota: In generale, per fissare K possiamo usare i criteri algebrici per studiare cosa succede alle radici di $\varphi^*(s)$ al variare di K

Esempio di progetto

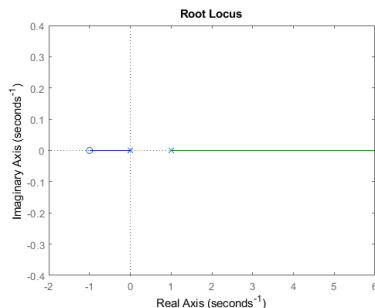
- Polinomio caratteristico in ciclo chiuso

$$\varphi^*(s) = s^2 + (K - 1)s + K$$

- Per scegliere K , possiamo anche tracciare il luogo delle radici e fissare K in modo che i poli in ciclo chiuso garantiscano un transitorio soddisfacente



Luogo delle radici per $K > 0$



Luogo delle radici per $K < 0$

Esercizi proposti

Dato il sistema LTI SISO

$$\begin{cases} \dot{x}_1 &= x_3 + \alpha^2 u \\ \dot{x}_2 &= x_1 + 2\alpha u \\ \dot{x}_3 &= x_2 + u \\ y &= x_3 \end{cases}$$

- a) Determinare il polinomio caratteristico $\varphi(s)$ e la funzione di trasferimento $G(s)$ al variare di $\alpha \in \mathbb{R}$;
- b) Dire per quali valori di α il problema di controllo in retroazione sull'uscita è ben posto;

Si fissi ora $\alpha = 2$ e si consideri la legge di controllo in retroazione algebrica sull'uscita $u = -K y + H y^\circ$.

- c) Dire per quali valori di K si ha stabilità asintotica in ciclo chiuso;
- d) Progettare, se possibile, i due guadagni K e H in modo da avere stabilità asintotica in ciclo chiuso e inseguimento perfetto di un riferimento costante y° .
- e) Fissati K e H come al punto precedente, calcolare per il sistema in ciclo chiuso il regime permanente in risposta a un segnale di riferimento $y^\circ(t) = 5 \sin(t)1(t)$

Suggerimento:

$$\text{Adj}(sI - A) = \begin{bmatrix} s^2 & 1 & s \\ s & s^2 & 1 \\ 1 & s & s^2 \end{bmatrix}$$

3.8 Retroazione dinamica sull'uscita

Retroazione dinamica sull'uscita

- Consideriamo un processo \mathcal{P} avente

$$G(s) = \frac{b(s)}{a(s)} \quad \varphi(s) = \varphi_h(s)a(s)$$

- Una legge di controllo in retroazione algebrica (statica) sull'uscita $u = -K y + H y^\circ$ assegna

$$\varphi^*(s) = \varphi_h(s)[a(s) + K b(s)]$$

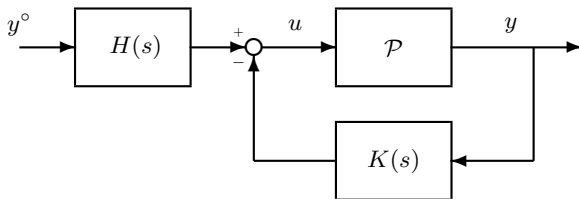
- Avendo a disposizione il solo parametro K , non possiamo assegnare liberamente i poli in ciclo chiuso
 \Rightarrow anche quando problema di controllo ben posto [$\varphi_h(s)$ con tutte radici a $\text{Re} < 0$] non sempre esiste K stabilizzante

Idea: Consideriamo una legge di controllo più generale in cui il segnale di controllo u è una funzione dinamica dell'uscita y e del riferimento y°

\Rightarrow **retroazione dinamica sull'uscita** del tipo (dominio di Laplace)

$$U(s) = -K(s) Y(s) + H(s) Y^\circ(s)$$

Retroazione dinamica sull'uscita



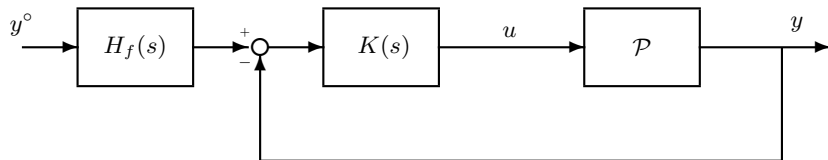
Legge di controllo in retroazione algebrica sull'uscita nel dominio di Laplace

$$\mathcal{C} : \quad U(s) = -K(s)Y(s) + H(s)Y^{\circ}(s)$$

- $K(s)$ guadagno in feedback e $H(s)$ guadagno in feedforward sono **funzioni di trasferimento proprie** (grado numeratore \leq grado denominatore)
- Controllore \mathcal{C} = sistema dinamico con funzione di trasferimento $[-K(s) \ H(s)]$

$$U(s) = [-K(s) \ H(s)] \begin{bmatrix} Y(s) \\ Y^{\circ}(s) \end{bmatrix}$$

Retroazione dinamica sull'uscita



- Scelta tipica

$$H(s) = H_f(s) K(s)$$

con $H_f(s)$ funzione di trasferimento propria e stabile (tutti i poli a $\text{Re} < 0$) detta **prefiltro**

- Legge di controllo

$$\begin{aligned} U(s) &= -K(s) Y(s) + K(s) H_f(s) Y^o(s) \\ &= K(s) [H_f(s) Y^o(s) - Y(s)] \end{aligned}$$

Nota: prefiltro $H_f(s)$ deve essere stabile perché fuori dall'anello di retroazione

Leggi di controllo a 1 e 2 gradi di libertà

- Nella retroazione dinamica sull'uscita

$$U(s) = K(s) [H_f(s) Y^\circ(s) - Y(s)]$$

si distinguono 2 casi

1 Controllo a 1 grado di libertà: $H_f(s) = 1$

- in questo caso $H(s) = H_f(s)K(s) = K(s)$
- azione di controllo

$$U(s) = K(s) [Y^\circ(s) - Y(s)]$$

funzione del solo **errore di inseguimento** $y^\circ(t) - y(t)$

2 Controllo a 2 grado di libertà: $H_f(s) \neq 1$

- in questo caso $H(s) = H_f(s)K(s) \neq K(s)$
- azione di controllo dipende separatamente da $y(t)$ e $y^\circ(t)$

Nota: nel seguito per semplicità $H_f(s) = H_f$ guadagno costante

Funzione di trasferimento in ciclo chiuso

- Equazione del processo nel dominio di Laplace (supponendo $x(0) = 0$)

$$\mathcal{P} : Y(s) = Y_f(s) = G(s) U(s)$$

- Equazione del controllore nel dominio di Laplace

$$\mathcal{C} : U(s) = K(s) [H_f Y^\circ(s) - Y(s)]$$

- Di conseguenza, per sistemi SISO

$$Y(s) = -G(s) K(s) Y(s) + G(s) K(s) H_f Y^\circ(s)$$

$$\Downarrow$$

$$Y(s) = \frac{G(s) K(s) H_f}{1 + G(s) K(s)} Y^\circ(s)$$

Funzione di trasferimento in ciclo chiuso

$$G_{y^\circ y}^*(s) = \frac{K(s) G(s)}{1 + K(s) G(s)} H_f$$

Funzione di trasferimento in ciclo chiuso

- Funzione di trasferimento del processo \mathcal{P}

$$G(s) = \frac{b(s)}{a(s)}$$

con grado $b(s) < \text{grado } a(s)$

- Funzione di trasferimento in feedback del controllore

$$K(s) = \frac{q(s)}{p(s)}$$

con grado $q(s) \leq \text{grado } p(s)$

- Funzione di trasferimento in ciclo chiuso

$$\begin{aligned} G_{y^* \circ y}^*(s) &= \frac{K(s) G(s)}{1 + K(s) G(s)} H_f = \frac{\frac{q(s)b(s)}{p(s)a(s)}}{1 + \frac{q(s)b(s)}{p(s)a(s)}} H_f \\ &= \frac{\frac{q(s)b(s)}{p(s)a(s)}}{\frac{p(s)a(s) + q(s)b(s)}{p(s)a(s)}} H_f = \frac{q(s)b(s)}{p(s)a(s) + q(s)b(s)} H_f \end{aligned}$$

Polinomio caratteristico in ciclo chiuso

- Supponendo per semplicità $H_f(s) = H_f$, funzione di trasferimento in ciclo chiuso

$$G_{y \circ y}^*(s) = \frac{q(s)b(s)}{p(s)a(s) + q(s)b(s)} H_f$$

- Si ricorda che vale la fattorizzazione $\varphi(s) = \varphi_h(s) a(s)$ con
 - radici di $a(s)$ = poli del sistema (autovalori controllabili e osservabili)
 - radici di $\varphi_h(s)$ = autovalori nascosti (autovalori non controllabili e/o non osservabili)
- Retroazione algebrica sull'uscita
 - modifica i poli del sistema assegnandoli come radici del polinomio
$$a^*(s) = p(s)a(s) + q(s)b(s)$$
 - **non** modifica gli autovalori nascosti del sistema, radici di $\varphi_h(s)$

Polinomio caratteristico in ciclo chiuso

$$\varphi^*(s) = \varphi_h(s) a^*(s) = \varphi_h(s) [p(s)a(s) + q(s)b(s)]$$

Proprietà del sistema in ciclo chiuso

Fatto 3.9 Per sistemi LTI SISO, la legge di controllo in retroazione dinamica sull'uscita $U(s) = K(s)[H_f Y^\circ(s) - Y(s)]$

- assegna il polinomio caratteristico in ciclo chiuso

$$\varphi^*(s) = \varphi_h(s) a^*(s) = \varphi_h(s) [p(s)a(s) + q(s)b(s)]$$

- assegna la funzione di trasferimento in ciclo chiuso

$$G_{y^\circ y}^*(s) = \frac{K(s) G(s)}{1 + K(s) G(s)} H_f = \frac{q(s)b(s)}{p(s)a(s) + q(s)b(s)} H_f$$

Nota: si suppone che il controllore sia privo di autovalori nascosti (lo possiamo fare perché il controllore è progettato da noi)

Esempio di retroazione dinamica

- Consideriamo un sistema LTI TC con

$$G(s) = \frac{1}{s^2 - 1}$$

e quindi $a(s) = s^2 - 1$ $b(s) = 1$

- Supponiamo che non ci siano autovalori nascosti, ossia $\varphi_h(s) = 1$
 \Rightarrow problema di controllo in retroazione sull'uscita **ben posto**
- Come visto questo sistema **non** può essere stabilizzato con una retroazione algebrica sull'uscita $u = -Ky + Hy^\circ$
- Consideriamo invece un retroazione dinamica sull'uscita
 $U(s) = K(s)[H_f Y^\circ(s) - Y(s)]$ con

$$K(s) = \frac{q(s)}{p(s)} = \frac{q_1 s + q_0}{s + p_0}$$

Nota: con la retroazione algebrica avevamo a disposizione 1 solo parametro K per assegnare i poli, con la retroazione dinamica abbiamo invece a disposizione 3 parametri p_0, q_0, q_1

Esempio di retroazione dinamica

- Polinomio caratteristico in ciclo chiuso

$$\begin{aligned}
 \varphi^*(s) &= \varphi_h(s) [p(s)a(s) + q(s)b(s)] \\
 &= (s + p_0)(s^2 - 1) + (q_1 s + q_0) \\
 &= s^3 + p_0 s^2 - s - p_0 + q_1 s + q_0 = s^3 + p_0 s^2 + (q_1 - 1)s - p_0 + q_0
 \end{aligned}$$

- Al variare di p_0 , q_0 , q_1 possiamo assegnare in modo arbitrario il polinomio caratteristico in ciclo chiuso
- Ad esempio, se vogliamo posizionare i poli in ciclo chiuso in -1 , -10 e -10 poniamo

$$\varphi^*(s) = (s + 1)(s + 10)^2 = (s + 1)(s^2 + 20s + 100) = s^3 + 21s^2 + 120s + 100$$

Di conseguenza, eguagliando i due polinomi

$$\left\{ \begin{array}{lcl} p_0 & = & 21 \\ q_1 - 1 & = & 120 \\ -p_0 + q_0 & = & 100 \end{array} \right. \Rightarrow \left\{ \begin{array}{lcl} p_0 & = & 21 \\ q_1 & = & 121 \\ q_0 & = & 121 \end{array} \right.$$

Esempio di retroazione dinamica

- Con la scelta $p_0 = 21$, $q_0 = 121$, $q_1 = 121$

$$K(s) = \frac{q_1 s + q_0}{s + p_0} = \frac{121s + 121}{s + 21}$$

- Funzione di trasferimento in ciclo chiuso

$$G_{y \circ y}^*(s) = \frac{q(s)b(s)}{p(s)a(s) + q(s)b(s)} H_f = \frac{121s + 121}{s^3 + 21s^2 + 120s + 100} H_f$$

- Per avere inseguimento perfetto di un riferimento costante dobbiamo imporre $G_{y \circ y}^*(0) = 1$

$$G_{y \circ y}^*(0) = \frac{121}{100} H_f = 1 \quad \Leftrightarrow \quad H_f = \frac{100}{121}$$

Nota: il procedimento visto può essere ripetuto per qualsiasi funzione di trasferimento $G(s)$ del processo

Scelta dell'ordine del controllore

- Consideriamo un processo con funzione di trasferimento

$$G(s) = \frac{b(s)}{a(s)}$$

con $b(s)$ e $a(s)$ polinomi coprimi con grado $b(s) < \text{grado } a(s)$

- Consideriamo un controllore in retroazione dinamica sull'uscita con funzione di trasferimento

$$K(s) = \frac{q(s)}{p(s)}$$

con grado $q(s) = \text{grado } p(s) = n_K$ **ordine del controllore**

- $2n_K + 1$ parametri liberi in $K(s)$
- Procedendo come nell'esempio, si può dimostrare il seguente risultato

Fatto 3.10 Se ordine del controllore n_K tale che $n_K \geq \text{grado } a(s) - 1$, allora i coefficienti di $a^*(s) = p(s)a(s) + q(s)b(s)$ possono essere scelti in modo arbitrario al variare di $p(s)$ e $q(s)$

\Rightarrow i poli in ciclo chiuso possono essere posizionati a piacere

Progetto della retroazione dinamica sull'uscita

Specifiche di progetto

- **Specifica 1:** stabilità asintotica in ciclo chiuso
- **Specifica 2:** guadagno in continua in ciclo chiuso unitario $G_{y^* \circ y}(0) = 1$
- **Specifica 3:** garantire un transitorio rapido e con escursioni dell'uscita il più possibile limitate

- Guadagno in continua in ciclo chiuso

$$G_{y^* \circ y}(0) = \frac{q(0)b(0)}{p(0)a(0) + q(0)b(0)} H_f$$

⇒ per soddisfare la specifica 2 dobbiamo porre

$$H_f = \frac{p(0)a(0) + q(0)b(0)}{q(0)b(0)}$$

Progetto della retroazione dinamica sull'uscita

Progetto di un sistema di controllo in retroazione dinamica sull'uscita

- 1 Si calcola $\varphi_h(s) = \varphi(s)/a(s)$
If $\varphi_h(s)$ asintoticamente stabile (non ci sono autovalori nascosti instabili)
 il problema di controllo è *ben posto* e si va al passo 2
else il problema di controllo *non* è ben posto
 Il progetto non può essere concluso e l'algoritmo termina
- 2 Si prende un controllore di ordine $n_K \geq \text{grado } a(s) - 1$
Si fissano $p(s)$ e $q(s)$ per soddisfare specifica 1 e 3 con il vincolo $q(0) \neq 0$
(per evitare problemi nel soddisfacimento della specifica 2)
- 3 **If** $b(0) \neq 0$
 si pone $H_f = \frac{p(0)a(0)+q(0)b(0)}{q(0)b(0)}$ (per avere inseguimento perfetto di un riferimento y° costante)
else non è possibile inseguire un riferimento costante
 si pone ad esempio $H_f = 1$

Implementazione della retroazione dinamica sull'uscita

- Consideriamo la legge di controllo in retroazione dinamica sull'uscita dell'esempio

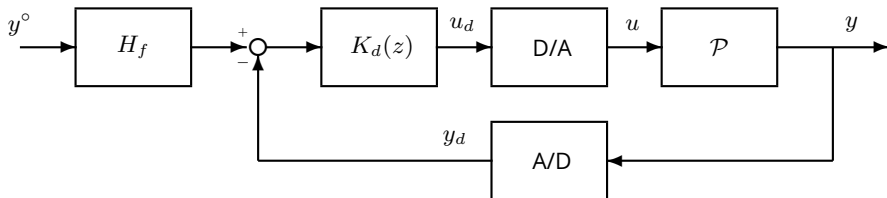
$$U(s) = K(s)[H_f Y^\circ(s) - Y(s)] = \frac{q_1 s + q_0}{s + p_0} [H_f Y^\circ(s) - Y(s)]$$

- In termini di relazione ingresso-uscita del controllore

$$\begin{aligned} (s + p_0)U(s) &= (q_1 s + q_0) [H_f Y^\circ(s) - Y(s)] \\ sU(s) + p_0 U(s) &= q_1 s [H_f Y^\circ(s) - Y(s)] + q_0 [H_f Y^\circ(s) - Y(s)] \\ &\Downarrow \\ \dot{u}(t) + p_0 u(t) &= q_1 [H_f \dot{y}^\circ(t) - \dot{y}(t)] + q_0 [H_f y^\circ(t) - y(t)] \end{aligned}$$

Nota: retroazione dinamica TC significa che l'azione di controllo u è generata in funzione di y° e y come soluzione di un'equazione differenziale

Implementazione della retroazione dinamica sull'uscita



- Nella pratica, anche per sistemi TC la legge di controllo si implementa con **controllori digitali** e quindi a TD (in ambito industriale: PLC controllori a logica programmabile)
- L'equazione differenziale che implementa il controllore viene approssimata con un'equazione alle differenze (ad esempio con metodo di Eulero o metodi più raffinati)
- Questo equivale ad approssimare la fdt TC $K(s)$ con una fdt TD $K_d(z)$
funzioni MATLAB `c2d`, Python `control.sample_system`
- In alternativa, possiamo discretizzare il processo \mathcal{P} e progettare direttamente un controllore TD

3.9 Controllo PID e azione integrale

Progetto mediante taratura di parametri

- Consideriamo una legge di controllo in retroazione dinamica sull'uscita a 1 grado di libertà

$$U(s) = K(s) [Y^o(s) - Y(s)]$$

- Per progettare la funzione di trasferimento del controllore $K(s)$, in alternativa al metodo visto, si può procedere
 - assegnando a $K(s)$ una **forma prefissata** dipendente da un insieme di parametri
 - e quindi ottimizzando tali parametri mediante **tecniche di taratura**
- Scelta tipica in ambito industriale: **controllo PID**

Nota: progetto mediante taratura di parametri non garantisce sempre di poter stabilizzare e soddisfare le specifiche ma è molto usato in pratica perché semplice

Controllo PID

Controllo PID (proporzionale-integrale-derivativo)

$$u(t) = K_P \left(y^\circ(t) - y(t) \right) + K_I \int_0^t \left(y^\circ(\tau) - y(\tau) \right) d\tau + K_D \frac{d}{dt} \left(y^\circ(t) - y(t) \right)$$

- Controllo = combinazione di 3 azioni:

- **Azione proporzionale:**

$$K_P (y^\circ(t) - y(t))$$

- **Azione integrale:**

$$K_I \int_0^t (y^\circ(\tau) - y(\tau)) d\tau$$

- **Azione derivativa:**

$$K_D \frac{d}{dt} (y^\circ(t) - y(t))$$

- 3 parametri di progetto: guadagno proporzionale K_P , guadagno integrale K_I e guadagno derivativo K_D

Funzione di trasferimento del PID

- Controllo PID nel dominio del tempo

$$u(t) = K_P \left(y^\circ(t) - y(t) \right) + K_I \int_0^t \left(y^\circ(\tau) - y(\tau) \right) d\tau + K_D \frac{d}{dt} \left(y^\circ(t) - y(t) \right)$$

- Ricordiamo che nel dominio di Laplace: s operatore di derivazione e $1/s$ operatore di integrazione
- Controllo PID nel dominio di Laplace

$$\begin{aligned} U(s) &= K_P \left(Y^\circ(s) - Y(s) \right) + \frac{K_I}{s} \left(Y^\circ(s) - Y(s) \right) + K_D s \left(Y^\circ(s) - Y(s) \right) \\ &= \frac{K_D s^2 + K_P s + K_I}{s} \left(Y^\circ(s) - Y(s) \right) \end{aligned}$$

Funzione di trasferimento del PID (ideale):

$$K(s) = \frac{K_D s^2 + K_P s + K_I}{s}$$

PID ideale e PID reale

- Se $K_D \neq 0$, grado denominatore $<$ grado numeratore

$$K(s) = \frac{K_D s^2 + K_P s + K_I}{s}$$

\Rightarrow funzione di trasferimento del PID **impropria**

- Questo succede perché per calcolare la derivata $\frac{d}{dt}(y^\circ(t) - y(t))$ dobbiamo conoscere cosa succederà nell'immediato futuro
- Per rendere il controllore PID proprio, si aggiunge un polo
 \Rightarrow **Funzione di trasferimento del PID (reale):**

$$K(s) = \frac{K_D s^2 + K_P s + K_I}{s(1 + s\tau)}$$

con $\tau > 0$

- Nella pratica
 - prima si progettano i guadagni K_P , K_I , K_D considerando un PID ideale
 - poi si sceglie $\tau \ll 1$ in modo da non modificare in modo sostanziale le proprietà del sistema di controllo
(polo in $-1/\tau$ con $\text{Re} \ll 0 \Rightarrow$ transitorio molto rapido)

Controllo PID: ruolo delle 3 azioni

- **Azione proporzionale:**

$$K_P (y^\circ(t) - y(t))$$

corrisponde a una retroazione algebrica sull'uscita con $K = H = K_P$

- **Azione integrale:**

$$K_I \int_0^t (y^\circ(\tau) - y(\tau)) d\tau$$

serve per

- inseguimento perfetto di riferimenti y° costanti anche in assenza del prefiltro ($H_f = 1$)
- reiezione perfetta di disturbi costanti

- **Azione derivativa:**

$$K_D \frac{d}{dt} (y^\circ(t) - y(t))$$

serve per

- rendere l'azione di controllo più pronta (prevede il trend di evoluzione dell'errore di inseguimento)
- migliorare la stabilità in ciclo chiuso

Legge di controllo con azione integrale

- Consideriamo una legge di controllo in retroazione dinamica sull'uscita a 1 grado di libertà

$$U(s) = K(s) [Y^\circ(s) - Y(s)]$$

- Funzione di trasferimento del controllore

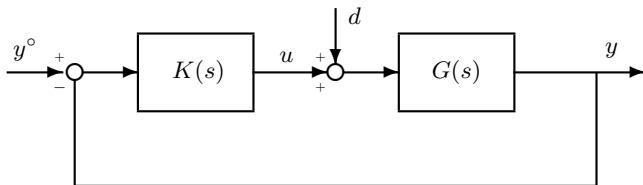
$$K(s) = \frac{q(s)}{p(s)}$$

con $p(s)$ e $q(s)$ polinomi coprimi

Definizione: un controllore in retroazione dinamica sull'uscita presenta **azione integrale** quando $K(s)$ ha almeno un polo in 0, ossia

$$p(0) = 0$$

Effetto di un disturbo sul sistema in ciclo chiuso



- Consideriamo un disturbo d sull'ingresso
- Equazioni del processo e del controllore

$$Y(s) = G(s) [U(s) + D(s)]$$

$$U(s) = K(s) [Y^o(s) - Y(s)]$$

- Interconnessione in retroazione tra processo e controllore

$$Y(s) = G(s) \{K(s) [Y^o(s) - Y(s)] + D(s)\}$$

$$\Downarrow$$

$$Y(s) = \frac{K(s)G(s)}{1 + K(s)G(s)} Y^o(s) + \frac{G(s)}{1 + K(s)G(s)} D(s)$$

Funzioni di trasferimento in ciclo chiuso

- **Funzione di trasferimento in ciclo chiuso tra riferimento y° e uscita y**

$$G_{y^\circ y}^*(s) = \frac{K(s)G(s)}{1 + K(s)G(s)}$$

- **Funzione di trasferimento in ciclo chiuso tra disturbo d e uscita y**

$$G_{dy}^*(s) = \frac{G(s)}{1 + K(s)G(s)}$$

- Denominatore delle funzioni di trasferimento in ciclo chiuso dipende dal **guadagno d'anello** $K(s)G(s)$

- In termini di polinomi $G(s) = \frac{b(s)}{a(s)}$, $K(s) = \frac{q(s)}{p(s)}$ e quindi

$$G_{y^\circ y}^*(s) = \frac{K(s)G(s)}{1 + K(s)G(s)} = \frac{b(s)q(s)}{a(s)p(s) + b(s)q(s)}$$

$$G_{dy}^*(s) = \frac{G(s)}{1 + K(s)G(s)} = \frac{b(s)p(s)}{a(s)p(s) + b(s)q(s)}$$

Regime permanente

- Per il principio di sovrapposizione degli effetti, regime permanente complessivo

$$y_f^{\text{RP}}(t) = y_f^{Y^\circ}(t) + y_f^D(t)$$

- $y_f^{Y^\circ}$ regime permanente in risposta al riferimento y°
- y_f^D regime permanente in risposta al disturbo d
- Supponiamo riferimento y° e disturbo d° costanti

$$y^\circ(t) = Y_0 \, 1(t) \quad d(t) = D_0 \, 1(t)$$

⇒ regime permanente complessivo

$$y_f^{\text{RP}}(t) = [G_{y^\circ y}^*(0) Y_0 + G_{dy}^*(0) D_0] \, 1(t)$$

con

$$G_{y^\circ y}^*(0) = \frac{b(0) q(0)}{a(0) p(0) + b(0) q(0)}$$

$$G_{dy}^*(0) = \frac{b(0) p(0)}{a(0) p(0) + b(0) q(0)}$$

Proprietà dell'azione integrale

- Supponiamo
 - $b(0) \neq 0$
 - controllore con azione integrale, ossia $p(0) = 0$
- Guadagni in continua in ciclo chiuso

$$G_{y \circ y}^*(0) = \frac{b(0) q(0)}{a(0) p(0) + b(0) q(0)} = 1$$

$$G_{dy}^*(0) = \frac{b(0) p(0)}{a(0) p(0) + b(0) q(0)} = 0$$

- Regime permanente complessivo

$$y_f^{\text{RP}}(t) = [G_{y \circ y}^*(0) Y_0 + G_{dy}^*(0) D_0] 1(t) = Y_0 1(t)$$

- L'uscita converge al valore desiderato Y_0 anche in presenza di un disturbo costante \Rightarrow **reiezione** perfetta del disturbo

Proprietà dell'azione integrale

Fatto 3.11 Consideriamo un controllore in retroazione dinamica sull'uscita a 1 grado di libertà

$$U(s) = K(s)[Y^{\circ}(s) - Y(s)]$$

con azione integrale e tale che $\varphi^*(s)$ sia asintoticamente stabile. Allora tale controllore garantisce

- inseguimento perfetto di un riferimento costante
 - reiezione perfetta di un disturbo costante
-
- In presenza di azione integrale, il prefiltro non è necessario per soddisfare la specifica 2 (inseguimento perfetto)
 - ⇒ per questo motivo si pone $H_f = 1$ considerando un sistema di controllo a 1 grado di libertà
 - Questo approccio può essere applicato anche ad altri tipi di riferimenti/disturbi [esempio: inserendo un doppio integratore, ossia un polo doppio in 0 in $K(s)$, si ottiene inseguimento perfetto di riferimenti a rampa $y^{\circ}(t) = Y^{\circ} \cdot t \cdot 1(t)$]

Scelta dell'ordine del controllore

- Possiamo modificare il progetto del controllo in retroazione dinamica sull'uscita inserendo anche l'azione integrale
- Consideriamo un controllore in retroazione dinamica sull'uscita con funzione di trasferimento

$$K(s) = \frac{q(s)}{p(s)}$$

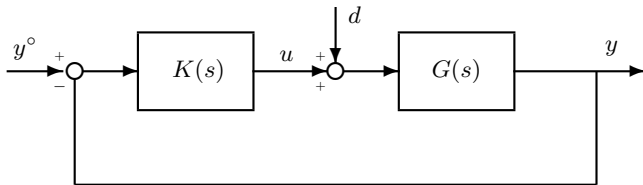
con grado $q(s) = \text{grado } p(s) = n_K$ **ordine del controllore**

- $2n_K + 1$ parametri liberi in $K(s)$
- Imponiamo che il controllore abbia azione integrale ossia $p(0) = 0$
 \Rightarrow rimangono $2n_K$ parametri liberi

Fatto 3.12 Consideriamo un processo tale che $b(0) \neq 0$ e un controllore con azione integrale. Se ordine del controllore n_K tale che $n_K \geq \text{grado } a(s)$, allora i coefficienti di $a^*(s) = p(s)a(s) + q(s)b(s)$ possono essere scelti in modo arbitrario al variare di $p(s)$ e $q(s)$

\Rightarrow i poli in ciclo chiuso possono essere posizionati a piacere

Esercizi proposti



Si consideri il sistema a retroazione in figura con

$$G(s) = \frac{3}{s^2 + 1}$$

- Progettare la funzione di trasferimento del controllore $K(s)$ in modo tale che il sistema in ciclo chiuso sia asintoticamente stabile.
- Progettare un controllore con azione integrale tale che il sistema in ciclo chiuso sia asintoticamente stabile.
- Si supponga che

$$y^o(t) = 10 \cdot 1(t), \quad d(t) = 5 \cdot 1(t)$$

Per i controllori progettati ai punti a) e b), determinare il regime permanente per l'uscita $y(t)$ e l'errore di inseguimento $y(t) - y^o(t)$ a regime.